

## 河川の自浄作用および汚濁負荷の流出率について（第1報）

建設省土木研究所 村上 健

### 1. はじめに

個々の工場や家庭などでの水の利用に伴なつて発生した汚濁物質は排水中に含まれて放出され、色々な経路を経て河川に流入して河川を汚染し、最終的には海へ運ばれて行くのであるが、その間に汚濁負荷のあるものは人為的に処理され、また、あるものは酸化、沈殿、吸着などの作用を受けて自然に浄化されて行く。これら自然の浄化作用一自浄作用一は、これを無視しても汚濁の面からはあらむね安全側であること、および自浄作用に關係する諸因子に妥当な数値を与えることが困難なことなどの理由により、汚濁予測において自浄作用を無視した形で議論が進められることが多い少なくない。しかし、現在既にいくつかの河川でみられるように、河川水の水資源としての利用が水質の面から制限を受けるようになると、あるいは将来の確保流量を始めとする要素が環境保全のために水質の維持となる要素だけにて、このような場合のように非常に critical な所で水質の検討をする場合には、自浄作用を無視した議論では水質汚濁防止対策の計画立案にあたる大きな誤りを持込む可能性がある。更に、水質管理の大きな目標の一つとして 溶存酸素がある許容濃度以下に下がらないようにするこれがあげらるるが、一般には自浄作用を考慮せずに溶存酸素の予測を行なうことは困難である。

以上のようすに、自浄作用を実用的合計算に取り入れることができるよう形で表現することが望まれてゐるわけであるが、この報告はその第1歩として、自浄作用を、汚濁負荷が発生してから河川に流入する迄の自浄作用と、河川内に入つてからの自浄作用とにわけ、前者については汚濁負荷の流出率といつた形でとらえてそれを關係する因子を明らかにし、後者については実際河川で自浄作用を実測することによつて、実際河川ではどの位の値をとるものか、また、どの様な形の自浄作用が支配的にならかにつけて検討した結果である。

なお、ここで対象としている汚濁物質は有機性のもののみを考え、BODで代表されるとする。

### 2. BOD負荷の流出率

ある河川の負荷流入地点（例えは支川の出口）において、そのBOD負荷を実測し、これとその流域内の人口および工業出荷額から推定したBOD負荷とも比較してみると、人為的に処理せられた量を考慮しても実測のBOD負荷の方がかなり小さくなるのが通常である。将来の汚濁予測を行なう場合には将来の人口および工業出荷額の予測を行ない、これを基にしてBOD負荷量を求めて行なうと、方法しが現在の所なりので、推定したBOD負荷と支川等を通して実際に河川に流入してくるBOD負荷とが一致するようには推定方法を向上させて行かなければならぬ。このためには汚濁負荷の原単位を実際に合ったものにして行くという努力の他に、負荷が発生した地点から河川に流入するまでの間に受けた自浄作用について充分調査し、把握しておかなければならぬ。

人口および工業出荷額によつて推定したBOD負荷が正しいものとし、人為的な処理が全く行なわれてないとするば、実際に河川に流出してきたBOD負荷とBOD負荷発生量の推定値との差は、負荷の発生地点（個々の工場および家庭など）からBOD負荷を実測した地点までBOD負荷が流下

して行く向の自浄作用によるものである。この自浄作用と本質的には河川内における自浄作用と同じ現象であり、同じ解析方法が用いられる筈であるが、河川に較べて水理条件が半差万別であり、河川と同じようなモデルを考え解析することは困難である。そこで極めてマクロな取り扱いをするとし、この自浄作用を次に示すようなくBOD負荷の流出率といつたものにあきかえて流域の特性との関係を調べてみる。

$$\text{BOD負荷流出率} = \text{BOD負荷実測値} / \text{BOD負荷推定値}$$

ここで、BOD負荷実測値とは対象とする流域の末端で実測したBOD負荷量であり、BOD負荷推定値とは流域内の個々の負荷発生源が発生した負荷量から人為的に処理されて除去された量を差引いたものである。

建設省では43年度よりBOD負荷流出率の調査を開始しており、現在まで14の流域での調査が終っており<sup>1)</sup>。この結果を表-1にまとめ示すが、これららの流出率の計算は概略以下に示すようない方法で行なった。

#### BOD負荷の推定

BOD負荷の推定は工場廢水によるものと家庭下水によるものとをわけて行なり、それぞれの原単位に工業出荷額および人口を乗じてBOD負荷発生量を求め、これから下水処理場、し尿処理場、浄化槽による処理量を差引きてBOD負荷の推定値とした。

家庭下水のBOD負荷原単位は都市化の進んだ地域では大きく、農村部では小さくといわれてあり一律には定めにくいうるものであるが、簡単化のため一応下水処理区域では35 gr./人/日、その他の地域では30 gr./人/日とした。このうち、し尿の負荷は13 gr./人/日とし、残りの23 gr./人/日(下水処理区域)、または17 gr./人/日(その他の地域)は雑排水による負荷とした。

工場廢水のBOD負荷原単位も各々の流域の実情に応じてかなり異なるものであるが、個々の流域につけてBOD負荷原単位の調査はさほどない。たゞで、経済企画庁が昭和39年に全国1,000工場について調査し産業分類別に求めた原単位を利用した。工業出荷額は42年の資料が利用でき流域では42年のものを利用し、その他の流域では41年のものを用いた。なお、工業出荷額は原単位を調査した時点(昭和39年)からの物価上昇を補正して用いた。

これらのBOD負荷を処理する処理施設としては、公共下水道の下水処理場、し尿処理場、浄化槽のみを考え、表-1に示した流域では工場内工場廢水処理を行なっている工場はないとした。下水処理区域を含む流域は、岐阜市内の1部を除いて流域の1部としている伊自良川、荒田川、境川、あづび川越市内の1部を流域に含む入向川の4流域であるが、これららの下水処理場のBOD除去率は高級処理を行なっており3処理場では85%，その他の処理場では60%とした。し尿処理場については、し尿処理場が同一流域内に放流している場合にはし尿によるBOD負荷13 gr./人/日から11 gr./人/日が除去されたものとし、他流域に搬出されている場合にはし尿による負荷は0とした。また、し尿浄化槽による処理が行なわれている場合にはし尿の負荷13 gr./人/日のうち5.5 gr./人/日が除去されたものとした。

#### BOD負荷の実測

調査流域の最下流地盤では毎月1回程度の水質調査を行なう。これらは工業出荷額および人口の積

算年度に応じて41年未だ42年の各回毎の調査結果より、各回毎のBODに流量を乗じて負荷量を求めこれを単純平均して実測値とした。

表-1 各種の流域でのBOD負荷流出率

番号	流域名	流域面積 (km <sup>2</sup> )	人口密度 (人/km <sup>2</sup> )	BOD負荷流出率 (%)	備考
1	阿武隈川 白河上流流域	172.4	68	28.4	主な汚濁源は八ヶ岳奥多摩方面
2	広瀬川 岩瀬橋上流流域	310.3	266	0.29	仙台市内の下水処理区域の負荷は多く
3	大瀬川 落合上流流域	277.9	61	0.08	
4	鳴瀬川 三本木上流流域	197.2	91	0.18	
5	吉田川 落合上流流域	550.8	67	0.18	
6	江戸川支川 坂川流域	51.3	2,200	18.3	主な汚濁源は松戸市の排水
7	荒川支川 入向川流域	227.4	637	12.8	
8	長良川支川 境川流域	61.7	2,480	33.3	岐阜市中部下水処理場が放流
9	長良川支川 荒田川流域	13.9	5,773	42.4	
10	長良川支川 伊自良川流域	163.9	616	4.74	岐阜市北部下水処理場が放流
11	猪名川支川 神田・内川排水路流域	9.0	7,690	95.2	主な汚濁源は川西市の排水
12	猪名川支川 最明寺川流域	3.7	11,040	156	主な汚濁源は池田市の排水
13	淀川支川 山科川流域	53.8	934	19.1	
14	大角川支川 富岡川流域	1.0	8,700	66.6	主な汚濁源は武雄市の排水

表-1によると、BOD負荷流出率は広瀬川の0.08%から最明寺川の15.6%まで広い範囲にわたっている。流出率が100%を越えている流域は最明寺川のみであるが、流出率の概念から100%を越えることはあり得ないが、原単位の不適あるいは流域内の工業出荷額を正確に把握できなかつたことによるものであろう。

BOD負荷流出率が泰山さするようなBOD負荷の減少量が自浄作用によるものとすれば、流出率は次のようないくつかの因子に関係しているものと思われる。  
 流域の開発の程度； BOD負荷発生源から流域の末端までの距離； 流域の勾配； 流域内でのBOD負荷発生源の分散の程度； BOD負荷発生量の大きさ； BODの分解し易さの程度； 地下浸透の程度； 流域の末端までの流量； 水温等これら諸因子のうち特に大きな影響を持つ因子として、流域の開発の程度、汚濁負荷発生源から流域末端までの距離が考えられるが、流域の開発程度については、開発が進んで排水路が整備されたり、水田等が減り、ここで滞留時間が短くなつてると流出が早くなつて流出率が大きくなる。また、負荷発生源から流域末端までの距離については、距離が短ければ減少量が小さく、流出率は大きくなると考える。今、流域の開発程度を人口密度Pで表わし、負荷発生源から流域末端までの距離を流域面積の平方根 $\sqrt{A}$ で代表すれば、他の要素を一応無視して、流出率RはPと $\sqrt{A}$ の関数として次のように表す。

$$R = f(P, \sqrt{A})$$

(1)

流出率を百分率で表わすと0と100の範囲にあることを考慮すると、最も簡単な関数形として次のようないくつかの関数が考えられる。

$$R = 100 \exp \left( -C \frac{\sqrt{A}}{P} \right) \quad (2)$$

ここでCは定数。

もし、BOD負荷流出率が式(2)のように表わされるとし、Cが一定とすれば、Rを対数軸にと、C  $\sqrt{A}/P$ に対してプロットすると直線が得られる筈である。表-1の結果のうち流域面積が非常に大きいものを除いて片対数グラフにプロットすると図-1のようになり、実がばらついていたので引いては云えないが、直線ではない、やや下に凸の傾向がある。この原因としてはAとPとか同じ次数ではない可能性があること、また、流域面積に影響する支配的因素が人口密度と流域面積の平方根だけではなく、他の因子もこれらとの因子と同等の影響を持つこと等の可能性もあることがあげられる。(勿論、その他にBOD負荷の原単位が適当でない場合もある)これらの点についてではデータ数が少ないので充分検討することができず、式(2)のような形が成り立つかどうかは確かめることができなかった。しかし、関数形はともかく、BOD負荷流出率に影響する因子(支配的因素)が人口密度と流域面積の平方根であるかどうかを調べるために、Rと  $P/\sqrt{A}$  を両対数でプロットしてみると図-2に示すようになり、明らかに密接な関連があることがわかる。

但し、図中の数字は表-1に示した流域の流域番号である。

図-2中の実線は便宜的に引いた曲線であるが、いくつかの点を除くと各点はこの曲線を中心として±50%の範囲内にあり、原単位の不確かさや実測値のはらつきを考慮すると非常に良い相関があるといえる。したがって、BOD負荷流出率に影響する支配的因素は流域の開発の程度(人口密度)

図-1 BOD負荷流出率と  
(流域面積) $^{1/2}$ /人口密度との関係

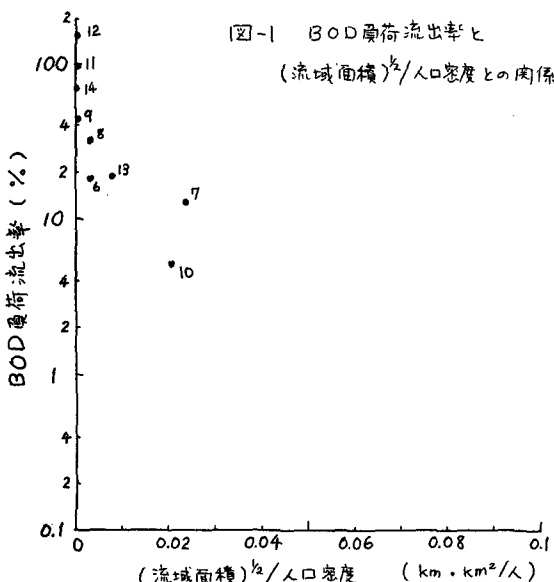
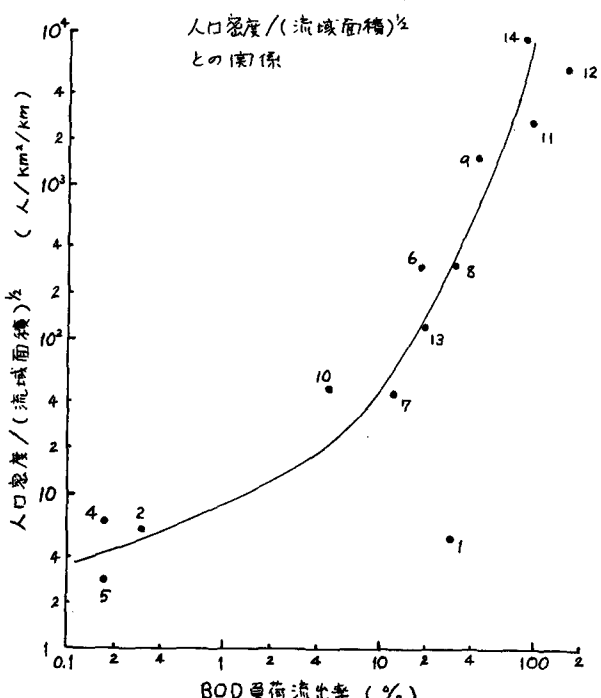


図-2 BOD負荷流出率と



と負荷発生源から流域末端までの距離（流域面積の平方根）であると想われる、実用的には図-1のように関係を利用することによ、かなりその傾向を把握できるものと思われる。

このようにBOD負荷流出率の性質をある程度明らかにすることはできたが、次に述べるような問題点が残り、今後更に検討する必要がある。

(1) BOD負荷の原単位を流域の実情に合致するようにして行くこと。

(2) BOD負荷流出率式(2)のような形で表わすとすれば、 $\sqrt{A}/P$  の関数ではなく、 $(\sqrt{A})^n/P^m$  の関数とした方がより適切と考えられるので、この点について検討する必要がある。

(3) 自浄作用の中には激激によるもの、地下への浸透によるものもあるので、地被の状態、土壤の性質、地表の勾配等も関係してくる。これらの中部分は人口密度によ、地表を走る河川もあるが、大部分は人口密度とは表現をしない。これら地表の状態は雨水の流出係数によ、地表を走ることかじけるので、雨水の流出係数をも含んだ形で整理することを考慮する。

(4) 図-2において点1は阿武隈川の白河より上流の流域についてこの点であるが、この点は特に他の点の傾向から離れてくる。この原因は、この流域のBOD負荷の約99%がヘルツ・織紡工場（1社）からの負荷であり、流域の末端に近い場所で放流をやめて考えられる。従って、負荷発生源から流域末端までの距離を表わすものとしては流域面積の平方根のみでは不充分で、負荷源の位置を補正する係数を導入する必要がある。

(5) BOD負荷実測値の計算における、河川水国有のBODを含めにまつて計算したが、国有の負荷を差引くことができれば、差引きで議論する方が適切である。

BOD負荷流出率といふ概念は下水の処理が行なわれてない流域のみで用いらるべきであるが、以上のような問題点を検討して行くことにより、様々な形態の流域のBOD負荷流出率に妥当な値を与えることができようになり、将来の水質予測をする際に、流域の土地利用形態、汚濁負荷発生の状態が現状とは非常に変ることを予想しても、かなり精度良く予測することができるようになると考えられる。

### 3. 河川における自浄作用

非感潮河川の自浄作用については、その機構は概念的にはかなり明らかになつてあり、今迄に多くの実測例もあるが、その大きさは河川の水理条件、流入する廢水の性質等によ、て異なるので個々の河川について具体的に自浄作用をどの程度に評価するかに当つてはまだ不明確な点が多い。そこで実際河川で自浄作用を測定することによつて、実験室内で測定したBODの減少係数と実際河川での減少係数との比較、生物酸化による減少とその他の原因による減少との分離を試み、また、溶解酸素の供給についても再曝気係数を実測して既存の公式との比較を行つた。

調査した河川は荒川および江戸川の2河川である。

#### 3.1 荒川および江戸川の概況

荒川の調査区間は図-3の概念図に示すように荒川の中流部の荒川大橋～太郎右衛門橋の区間および支川の八戸川、小肆川である。荒川中流部の主な支川には市野川、越辺川、小肆川、入戸川などがある。また、糠田橋の上流で武藏水路が合流しており、利根川の余剰水が東京都・埼玉県の水道用

水および隅田川の淨化用水として導入されており。調査区间より更に下流の飲食取水場では東京都の水道用水が取水されており、現在の所では未だ汚染は進んでおらず水道用水として取水可能な水質が保たれていた。主な汚湯源は本川左岸の熊谷市の都市下水（八町植管、砂利植管より流入）、鴻巣市の都市下水（鴻巣下水植管、行人植管より流入）。右支川の入間川の流域で南豊と小つづみ生産地、工場団地などからの排水があるが、量的には土砂大きくなつた。しかし、この流域は今後増々南豊を小さく行き、それに応じて荒川に流入する汚湯負荷も増大していくことが予想される。

江戸川の調査区间は図-4の概念図に示すように、上流端の利根川からの分流点（利宿）から磨瀬限界（松戸市附近）までの約35kmの区间である。江戸川もまた首都圏の最も重要な水源の一つで、東京都・千葉県の上水道を始め、農業用水、工業用水、水産用水として、またリクリエーションの場としても広く利用されているが、下流の磨瀬域の水質は主として工場廢水の流入でや、汚染されており、昭和37年には全国にさきがけで水質基準が設立された。しかし、上流部では毎平均約BODは2ppm以下で未だが手り清潔である。調査区间に流入する主な汚湯源は野田市の醤油工場廢水や家庭下水（座生沼植管、中野台植管、浅間下植管から流入）、流山市の都市下水（今上落植管、水内植管から流入）である。

### 3.2 調査方法

調査方法は基本的には河川水が流下して行く間の水質変化の追跡を行ない、Streeter-Phelps式の修正式を利用して諸係数の値を求めるという方法である。

#### 1) 採水時刻および採水時間间隔

採水は上流側の地点より順次下流側の地点へ、各地点間の流下時間ごとに採水時刻をずらして行なった。但し、各地点での採水は流下時間から始めた1時刻だけではなく、その時刻を中心として前後1時間、30分間隔で計5回採水した。

図-3

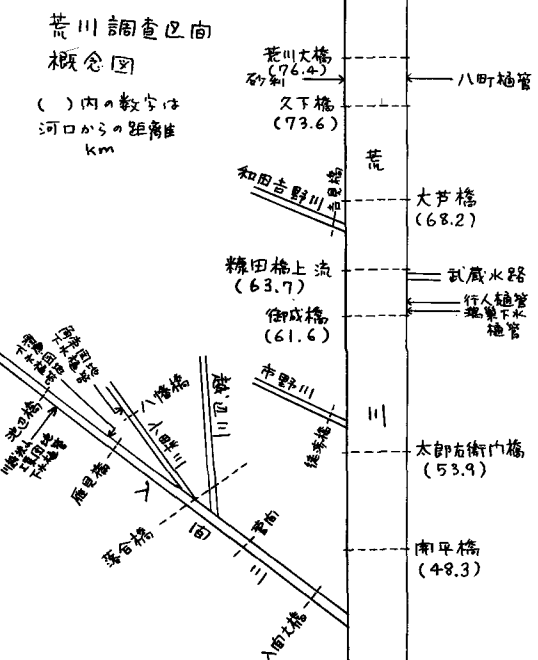
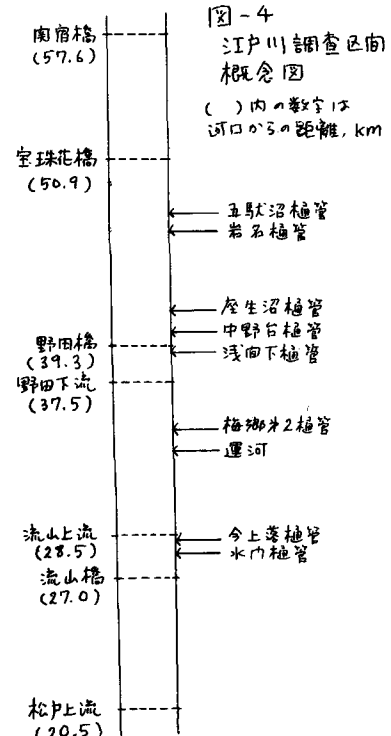


図-4  
江戸川調査区间  
概念図



## 2) 採水位置

採水位置は左右岸ごと水質にあまり差がない所では流心ごと水深の2割の位置とした。但し、江戸川の野田橋、流山橋では左右岸ごと水質に差があるのを、野田橋では5測線、流山橋では3測線とした。

## 3) 調査・分析項目

調査・分析項目は 流量、水温、DO、BOD、溶解性物質によるBOD、脱酸素係数(静置して測定したものと、攪拌しながら測定したもの)、COD、SS、アンモニア性窒素、亜硝酸性窒素、硝酸性窒素、クロロフィルの12項目である。

### 3.3 調査結果および解析

荒川の調査は43年7月24, 25日の2日間に、江戸川の調査は43年8月26, 27日の2日間にそれぞれ実行された。荒川の調査においては夕刻雷雨があり、流量が調査期間中に  $15 \text{ m}^3/\text{s}$  程度から  $60 \text{ m}^3/\text{s}$  程度へと増加した。荒川本川の御成橋より下流の区間は採水時刻が流量増加時にあたったので、この区間の解析を行なうこととした。荒川本川のBODおよびDOの距離的変化を図-5に示す。図-5からわかるように、流量が増加する前の御成橋より上流の地点ではBODは2 ppm以下で、溶存酸素は各地点とも過飽和にはない。これは藻類の光合成による酸素供給が行き届かなかったことを示している。御成橋より下流ではDOは急激に増加し、溶存酸素は飽和値以下に下る。これは雷雨によって地表面が洗われ、平常の河川水よりも汚れた水が河川に流入してきたためと考えられる。

また、江戸川のBODおよびDOの距離的変化を図-6に示す。江戸川の流量は調査期間を通じて  $100 \text{ m}^3/\text{s}$  程度であるが、流量が  $500 \text{ m}^3/\text{s}$  に増した後の減少期であるため藻類は殆んど

図-5 荒川のBODおよびDOの距離的変化

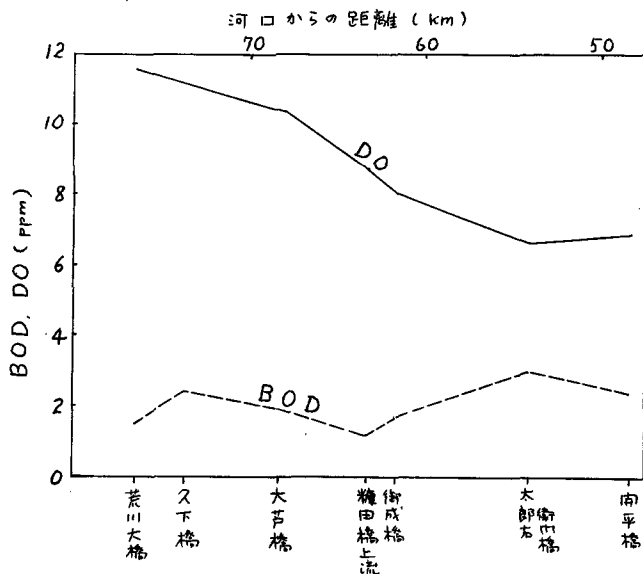
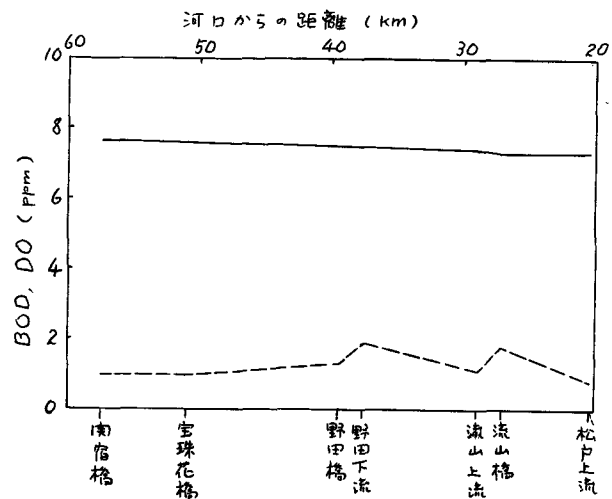


図-6 江戸川のBOD, DOの距離的変化



存在していなく、溶存酸素は飽和に達していない。BODは野田上流で1 ppm程度であるが、そのため、野田市の都市下水の流入によると1.9 ppmになり、更に流下して流山上流に到ると自浄作用により減少して1 ppm程度に下がる。流山市内を通過すると都市下水の流入によりBODは増加し、1.8 ppm程度になると1.9 ppm。

総面の割合によりデータを全て記載することができるが、一例として、江戸川の各地点での調査結果を表-2に示す。

表-2 江戸川調査結果

①	②	③	④	⑤	⑥	⑦	⑧	⑨	⑩
本川 地点名	負荷流入 地点名	河口からの 距離 km	流量 m³/s	水温 °C	BOD <sub>5</sub> ppm	R <sub>IL</sub> 1/d	BOD <sub>5</sub> 負荷量 gr/s	DO ppm	DO不足量 gr/s
奥宿橋		57.7	105.1	21.5	0.98 (0.185)	0.176 (0.185)	103.0	7.65	100.9
宝珠花橋		51.0	98.6*	21.7	1.00	0.176*	98.6	7.64	92.7
	五駄湯植管	44.9	0.012	19.8	13.0	0.045	0.2	3.71	0.1
	岩呂植管	43.4	0.006	23.0	1.3	0.05*	0.0	6.20	0.0
	座生沼植管	41.0	3.0	21.6	21.3	0.126	53.0	0.0	21.7
	中野台植管	39.4	0.011	24.2	1017	0.185*	10.2	7.32	0.0
野田橋		39.3	98.6	22.0	1.70	0.139 (0.185)	167.6	7.34	117.3
	浅向下植管	39.0	0.083	24.1	241.7	0.185	20.1	2.30	0.5
野田下流		37.5		22.0	1.90	0.120			
	梅原中2植管	34.7	0.141	23.0	7.96	0.134	1.1	1.82	0.9
	運河	34.6	0.573	19.8	1.40	0.115	0.8	4.21	2.5
流山上流		29.0	100.9	21.6	1.10	0.120*	111.0	7.44	116.0
	今上落植管	28.5	0.178	22.0	2.40	0.120*	0.5	6.41	0.4
	水内植管	27.9	0.062	23.0	107	0.214	6.6	4.09	0.2
流山橋		27.0	100.9*	21.9	1.80	0.090 (0.172)	181.6	7.12	148.3
松戸上流		20.5	100.9*	21.6	1.30	0.090*	131.2	7.26	134.2

注1: \*印は推定値

表-2のオ<sub>7</sub>欄は脱酸素係数であるが、これは20°Cで静置した値であり、5日間BODから最終BODへの換算にはこの値を用いた。また、<sub>7</sub>欄の( )内の値は攪拌しながら測定した脱酸素係数である。荒川につれては、御成橋および雁見橋の試料につれて攪拌しながら測定した脱酸素係数を求めたが、静置して測定した値と比較して有意な差はない。

### 1) BOD收支の解析

表-1のようない結果を用いて江戸川につれては奥宿橋～宝珠花橋、宝珠花橋～野田橋、野田下流～流山上流、流山橋～松戸上流の4区間、荒川本川につれては荒川大橋～大芦橋、大芦橋～緑田橋上流の2区間、入向川につれては池田橋～雁見橋、雁見橋～落合橋、入向・越辺合流点下流～菅原の3区間、小幡川につれては人幡橋～落合橋の1区間に

にて、(1) BOD減少係数を計算した。計算式は Streeter-Phelps の式の修正式<sup>2)</sup>、次のような形<sup>2)</sup>である。

$$L_b = L_a 10^{-(k_1 + k_3)t} + \frac{P}{2.3(k_1 + k_3)} \{ 1 - 10^{-(k_1 + k_3)t} \} \quad (3)$$

ここで、 $L_b$ ：下流地点での最終BOD(ppm),  $L_a$ ：上流地点での最終BOD(ppm),  $k_1$ ：生物酸化によるBODの減少係数(1/d),  $k_3$ ：その他の原因によるBODの減少係数,  $P$ ：河床等から附加されるBOD(ppm/d),  $t$ ：流下時間(d),

式(3)には未知数が  $(k_1 + k_3)$  と  $P$  の2個あるので、次のように便宜的な解法を用いた。<sup>2)</sup> 那ち、式(3)の  $(k_1 + k_3)$  の代りに、表-2の⑦欄に示してある標準として測定した脱酸素係数を用い、 $P$  を0として式(3)により、下流地点での最終BOD( $L_b$ )を計算する。但し、⑦欄の脱酸素係数は水温20°Cにおける値なので、 $k_{1,T} = k_{1,20^\circ\text{C}} (1.047)^{T-20}$  で実際の水温の値に補正する。こうようにして計算した  $L_b$  と下流地点での実測の最終BODとを比較して、実測値の方が大きければ  $P = 0$  として  $(k_1 + k_3)$  を求めた。また、逆に実測値の方が大きければ  $(k_1 + k_3)$  を表-2の脱酸素係数(温度補正したもの)に等しいとして  $P$  を求めた。

なお、区間の途中に負荷の流入点がある場合には、区間に上流端へ負荷流入地を、負荷流入地を一区間に下流端のように小区間に分割し、各小区間に式(3)のよう分解式を立て、こよりか全て満足できるよう  $(k_1 + k_3)$  または  $P$  を trial and error により求めた。この計算は実際には非常に繊細なもので、電子計算機を利用した。

このようにして求めた  $(k_1 + k_3)$  または  $P$  を表-3に示す。表-3には実験室内で測定した脱酸素係数(標準しながら測定したもの)を温度補正した値から  $k_{1,L}$  としてあわせて示してあり、また、 $(k_1 + k_3) - k_{1,L}$  が  $k'_3$  として示してある。

表-3 BODの減少係数

区間	宝珠花橋 ～ 宝珠花橋	宝珠花橋 ～ 野田橋	野田橋 ～ 流山上流	流山上流 ～ 松中上流	流山上流 ～ 大芦橋	大芦橋 ～ 新田橋上流	大芦橋 ～ 雁見橋	池田橋 ～ 雁見橋	雁見橋 ～ 落合橋	入電橋 ～ 全流域下流	八幡橋 ～ 落合橋
$(k_1 + k_3) / d$	0.20	0.20	1.98	1.97	1.60	0.76	3.05	0.55	0.29	2.61	
$k_{1,L} / d$	0.20	0.20	0.20	0.19	0.16	0.16	0.17	0.17	0.11	0.13	
$k'_3 / d$	0	0	1.78	1.78	1.44	0.60	2.88	0.38	0.18	2.48	
$P$ ppm/d	1.00	0.69									

表-3の  $k'_3$  — 河川内でのBOD減少係数と実験室内で測定したBOD減少係数の差 — にあると、 $k'_3$  の大きい区間は八幡橋～落合橋の区間を除けば、各区間とも区間の途中、しかも区間の上流端附近で大きな負荷の流入があることわかる。また、逆に  $k'_3$  の小さい区間では宝珠花橋～野田橋の区間を除けば区間の途中では大きな負荷の流入はない。宝珠花橋～野田橋の区間には大きな負荷の流入点はあるが、その位置が野田橋に非常に近いため大きな負荷の影響が少ないと思われる。

以上より、大きな負荷の流入点の下流では、河川内でのBOD減少係数は実験室内で測定した減少係数よりもはるかに大きいが、大きな負荷源がその区間または更に上流に在り場合にはその差はあまりないと言える。この原因として次の2点があげられる。(i) 大きな負荷の流入点の下流では濁度によく

BODの減少が大きくなる。 (ii) 負荷が流入してBODが高くなると実験室内での測定ではつまえにくう形での生物酸化が活潑になると、後者の形でのBODの減少があるとすれば、河床に附着して生活する微生物による吸着・酸化がBODの増加に応じて相対的に大きくなるケースがあるとか、この点につれての検討は行なうことができるか、た。前者の沈殿による減少について検討するためには、各調査区間の大きさは汚漏源のBODのうち浮遊物質によるBODの占める割合を調べてみると、少くとも35%, 大きいものは70%を占めている。河川水の場合には溶解性物質によるBODがほぼ全BODに等しくなることと考慮すると、河川内でのBOD減少係数と実験室内で測定した値との差は大部分沈殿によるBODの減少と考えても良いと思ふが、次のように結論することができるよう。(i) 河川内でのBODの減少のうち酸素の消費を伴なう減少は、実験室内で検査しなから測定した曝気係数、又はこれは曝気検査しながら測定したBOD減少係数で表わしては差支えない。(ii) 沈殿によるBODの減少係数は、河況によつても異ならぬが、流入するBOD量のうち浮遊物質によるもののが多ければかなり大きくなり、時には2.5(1/d)にも達することがある。

## 2) DO收支の解析

DO收支の解析に用いた式もBODと同様 Streeter-Phelpsの式の修正式で、次のようなる形である。

$$D_b = \frac{R_1}{R_2 - (R_1 + R_3)} \left\{ L_a - \frac{P}{2.3(R_1 + R_3)} \right\} \left\{ 10^{-(R_1 + R_3)t} - 10^{-R_2 t} \right\} + \frac{1}{2.3 R_2} \left( \frac{R_1 P}{R_1 + R_3} - \alpha \right) (1 - 10^{-R_2 t}) + D_a 10^{-R_2 t} \quad \dots \dots (4)$$

ここで、 $D_b$ : 流地点 $z$ のDO不足量(ppm),  $D_a$ : 上流地点 $z$ のDO不足量,  $R_1$ : 再曝気係数(1/d),  $\alpha$ : 光合成による酸素供給速度(ppm/d)。式(4)では $R_3$ は形でのBODの減少は酸素の消費を伴なうないと考えている。式(4)を用いて計算するに当つて、 $R_1$ ,  $R_2$ には表-3の $R_{1d}$ ,  $R_{2d}$ を用いる。また、光合成による酸素供給速度 $\alpha$ は、江戸川につれては流量の過減期に当つての藻類は殆んど存在しておらず、また晴天で太陽光線の直射もなかつたので $\alpha=0$ とした。荒川本川につれては、クロロフィル濃度と実測した水中照度と平均値より、荒川大橋～大芦橋間に $d=2.04$ 、大芦橋～糠田橋上流で $\alpha=0.36$  ppm/dとした。荒川の支川の入側川、小幡川の区間では水中照度の実測ができなかつたので計算を行なわなかつた。これらの値を用いて再曝気係数を計算すると表-4のようになる。区間の途中

表-4 再曝気係数

区間	奥宿橋～宝珠花橋	宝珠花橋～室田橋	室田橋～流山上流	流山上流～松戸上流	荒川大橋～大芦橋	大芦橋～糠田橋上流
$R_2 / d$	0.39	0.33	0.24	0.58	2.3	2.9
O'Connor-Dobbins 計算値 $/d$	0.67				5.4	2.3

では溶解酸素代換係数の式、水中から空気中に酸素が放出されるうつる形の計算を行なつた。表-4にはO'Connor-Dobbinsの式(等方性の場合)を用いて計算した値があわせて示してあるが、荒川本川の大芦橋～糠田橋上流の区間を除くと、実測値は計算値のおよそ1/2になつてゐる。 $R_2$ で表かされたBODの減少分の中にも酸素の消費を伴なう減少が含まれてゐる可能性を考慮すると、計算値と実測値は比較的良く一致するといふこと。

参考文献 1) 第22回建設省技術研究発表会

2) W.E. Dobbins, 'BOD and Oxygen Relationships in Streams', Proc. ASCE, Vol. 90, SA3, 1964.